

УДК 629.124.74

А.А. ТАРАСЕНКО

*Национальный университет кораблестроения  
им. адмирала Макарова, Николаев, Украина***ЧАСТИЧНЫЕ РЕЖИМЫ УСТРОЙСТВ ТИПА  
ГАЗОДИНАМИЧЕСКОЕ СОПРОТИВЛЕНИЕ В СУДОВЫХ ГТД**

Рассматривается характеристика устройства типа газодинамическое сопротивление на частичных режимах. Получена зависимость коэффициента восстановления полного давления от относительного обобщенного расхода и параметра  $\lambda$  на номинальном режиме. Предложен способ представления характеристики устройства типа газодинамическое сопротивление в виде зависимости обобщенного относительного расхода на входе в устройство и выходе из него. Также предложен алгоритм расчета этой характеристики. Приведены результаты расчета характеристик на ЭВМ, полученные в виде графиков. Эти графики носят универсальный характер и могут быть применены для дозвуковых режимов работы при расчетах коэффициентов восстановления полного давления

**коэффициент восстановления полного давления, расход, характеристика****Введение**

При расчетах параметров газотурбинных двигателей на частичных режимах важно определить потери давления по тракту двигателя. Особенно это важно в режиме запуска, работы в режиме сопровождения стартером и анализе состояний типа «горячее зависание».

**1. Формулирование проблемы**

Необходимо определить коэффициент восстановления полного давления устройств типа газодинамическое сопротивление в судовых ГТД в зависимости от параметров номинального режима и обобщенного параметра расхода [1].

**1.1. Общие соотношения.** В экспериментальной газодинамике потери полного давления оцениваются по формуле [2]:

$$\Delta P^* = P_1^* - P_2^* = \xi \cdot \frac{\rho_1 \cdot V_1^2}{2}, \quad (1)$$

где  $\Delta P^*$  – потери давления в устройстве;

$P_1^*$  – полное давление на входе в устройство;

$P_2^*$  – полное давление на выходе из устройства;

$\xi$  – коэффициент потерь в устройстве;

$\rho_1$  – плотность газа на входе в устройство;

$V_1$  – скорость газа на входе в устройство.

Часто потери оценивают коэффициентом восстановления полного давления:

$$v = P_2^* / P_1^*.$$

Учитывая (1), запишем:

$$v = P_2^* / P_1^* = 1 - \xi \cdot \frac{\rho_1 \cdot V_1^2}{2 \cdot P_1^*}. \quad (2)$$

Учитывая, что расход газа  $G = \rho_1 \cdot V_1 \cdot F$ , где  $F$  – площадь сечения, выражение (2) можно записать в следующем виде:

$$1 - v = \xi \cdot \frac{G \cdot V_1}{2 \cdot F \cdot P_1^*} = \frac{G \cdot \sqrt{T_1^*}}{P_1^*} \cdot \frac{\xi \cdot V_1}{2 \cdot F \cdot \sqrt{T_1^*}}. \quad (3)$$

Применяя теорию подобия, оперируют упомянутым выше обобщенным расходом газа:

$$G_{об} = \frac{G \cdot \sqrt{T_1^*}}{P_1^*}. \quad (4)$$

Тогда уравнение (3) будет выглядеть следующим образом:

$$1 - v = G_{об} \cdot \frac{\xi \cdot V_1}{2 \cdot F \cdot \sqrt{T_1^*}}.$$

Умножив и разделив правую часть этого выражения на плотность, получим:

$$1 - v = G_{об} \cdot \xi \cdot \frac{V_1 \cdot \rho_1}{2 \cdot \frac{P_1}{R T_1} \cdot F \cdot \sqrt{T_1^*}}$$

В этой формуле учтено, что  $\rho_1 = \frac{P_1}{R T_1}$ .

После преобразований получим

$$1 - v = \xi \cdot G_{об} \cdot \frac{G}{2 \cdot \frac{P_1^* \cdot \pi(\lambda)}{R \cdot T_1^* \cdot \tau(\lambda)} \cdot F^2 \cdot \sqrt{T_1^*}}$$

или 
$$1 - v = \xi \cdot G_{об} \cdot \frac{G \cdot \sqrt{T_1^*}}{P_1^*} \cdot \frac{R \cdot \tau(\lambda)}{2 \cdot F^2 \cdot \pi(\lambda)}$$

В этих выражениях  $\pi(\lambda)$  и  $\tau(\lambda)$  – газодинамические функции. Учитывая (4), запишем последнее выражение в виде:

$$1 - v = \xi \cdot G_{об}^2 \cdot \frac{R \cdot \tau(\lambda)}{2 \cdot F^2 \cdot \pi(\lambda)} \quad (5)$$

Выражение аналогичное (5) можно записать для номинального режима. Тогда:

$$\frac{1 - v}{1 - v_n} = \frac{G_{об}^2 \cdot \frac{\tau(\lambda)}{\pi(\lambda)}}{G_{обн}^2 \cdot \frac{\tau(\lambda_n)}{\pi(\lambda_n)}}$$

или, обозначив  $\bar{G} = \frac{G_{об}}{G_{обн}}$  и  $k_{-G} = \frac{1 - v}{1 - v_n}$ , получим

$$k_{-G} = \frac{1 - v}{1 - v_n} = \bar{G}^2 \cdot \frac{\tau(\lambda) \cdot \pi(\lambda_n)}{\tau(\lambda_n) \cdot \pi(\lambda)}$$

Обозначив

$$k_{-Ln} = \frac{\tau(\lambda) \cdot \pi(\lambda_n)}{\tau(\lambda_n) \cdot \pi(\lambda)}, \quad (6)$$

запишем

$$k_{-G} = \frac{1 - v}{1 - v_n} = \bar{G}^2 \cdot k_{-Ln} \quad (7)$$

После несложных преобразований получим

$$v = 1 - (1 - v_n) \cdot \bar{G}^2 \cdot \frac{\tau(\lambda) \cdot \pi(\lambda_n)}{\tau(\lambda_n) \cdot \pi(\lambda)}$$

или

$$v = 1 - (1 - v_n) \cdot \bar{G}^2 \cdot k_{-Ln} \quad (8)$$

Учитывая (7), можно записать

$$v = 1 - (1 - v_n) \cdot k_{-G}$$

На практике часто полагают  $k_{-Ln} = 1$  и пользуются приближенной формулой:

$$v = 1 - (1 - v_n) \cdot \bar{G}^2$$

Из определения газодинамической функции  $q(\lambda)$  следует что,  $\bar{G} = \frac{q(\lambda)}{q(\lambda_n)}$ , тогда, зная  $\lambda_n$ , можно вначале определить  $q(\lambda_n)$ , а затем, зная  $\bar{G}$ , можно найти  $q(\lambda) = \bar{G} \cdot q(\lambda_n)$ .

## 2. Решение проблемы

Цель дальнейшего анализа – определить коэффициент  $k_{-Ln} = k_{-Ln}(\bar{G}, \lambda_n)$ . Обычно параметры номинального режима известны и в том числе  $\lambda_n$ , а относительный обобщенный расход  $\bar{G}$  характеризует частичный режим. Эта зависимость может быть представлена в виде серии графиков для различных  $\lambda_n$ . Для дозвуковых режимов  $\lambda_n$  лежит в диапазоне  $0 \div 1$ , в то время как  $\bar{G}$  также изменяется в пределах  $0 \div 1$ .

Вычисление проводим в следующей последовательности:

1. Задаемся  $\lambda_n$  в диапазоне  $0 \div 1$ .
2. Задаемся  $\lambda$  в диапазоне  $\lambda_n \div 0$ .
3. Вычисляем  $q(\lambda)$  и  $q(\lambda_n)$ .

4. Вычисляем  $\bar{G} = \frac{q(\lambda)}{q(\lambda_n)}$ .

5. Определяем  $k_{-Ln} = \frac{\tau(\lambda) \cdot \pi(\lambda_n)}{\tau(\lambda_n) \cdot \pi(\lambda)}$ .

6.  $k_{-G}$  и  $v$  определяем согласно выражениям (7) и (8).

Результаты расчетов приведены на рис. 1.

На рис. 1 параметр  $G_{in}$  это  $\bar{G} = \frac{G_{об}}{G_{обн}}$ . Аналогичный параметр можно рассмотреть на выходе из

устройства. Обозначим его через  $G_{ou}$

$$G_{ou} = \frac{G \cdot \sqrt{T_1}}{P_2} \cdot \frac{P_{2H}}{G_H \cdot \sqrt{T_{1H}}}$$

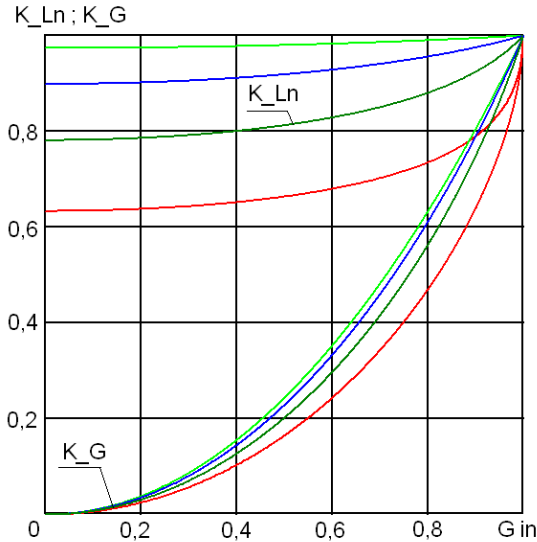


Рис. 1. Зависимости  $k_G$  и  $k_{Ln}$  при  $\lambda_H = 1,0; 0,75; 0,5$  и  $0,25$

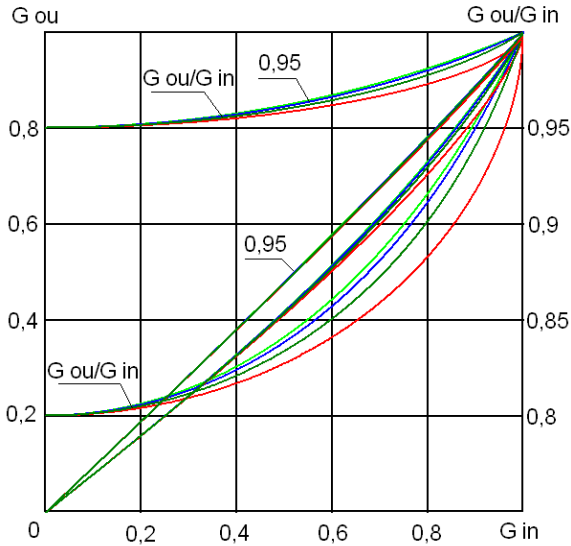


Рис. 2. Зависимости  $G_{ou} - G_{in}$  для  $\nu_H = 0,95$  и  $0,8$  при  $\lambda_H = 1,0; 0,75; 0,5$  и  $0,25$

Учитывая  $P_2 = P_1 \cdot \nu$  и  $P_{2H} = P_{1H} \cdot \nu_H$ , запишем

$$G_{ou} = \frac{\nu_H}{\nu} \cdot \frac{G \cdot \sqrt{T_1}}{P_1} \cdot \frac{P_{1H}}{G_H \cdot \sqrt{T_{1H}}}$$

Учитывая (4), получим

$$\frac{G_{ou}}{G_{in}} = \frac{\nu_H}{\nu} \tag{9}$$

Из выражения (9) следует, что характеристика устройства может быть задана таблицей (графиком)

$$G_{ou} - G_{in}$$

или зависимостью

$$\frac{G_{ou}}{G_{in}} = \frac{\nu_H}{\nu} = f(G_{in})$$

Эта зависимость может быть вычислена с помощью выражения (8) и использования графика рис. 1.

Следует отметить, что при  $G_{in} = 0$  отношение (9) будет стремиться к  $\nu_H$ , что видно на рис. 2. Действительно  $\nu = 1$  при  $G_{in} = 0$ .

Разработанная методика позволяет получить характеристику аналогичную рис. 2 для любого значения  $\nu_H$  и  $\lambda_H$ , меньших 1.

### Заключение

Можно сделать вывод о автомодельности относительно  $\lambda_H$  для  $\lambda_H < 0,5$ , при этом характеристика устройства определена зависимостью  $G_{ou} - G_{in}$ .

### Литература

1. Романовський Г.Ф., Ващиленко М.В., Сербін С.І. Теоретичні основи проектування суднових газотурбінних агрегатів: Навчальний посібник. – Миколаїв: УДМТУ, 2003. – 304 с.
2. Нечаев Ю.Н., Федоров Р.М. Теория авиационных газотурбинных двигателей. Ч. I. – М.: Машиностроение, 1977. – 312 с.

Поступила в редакцию 27.05.2008

**Рецензент:** д-р техн. наук, проф. М.Р. Ткач, Национальный университет кораблестроения им. адмирала Макарова, Николаев.